

UNIVERSITÉ DE GENÈVE

ANALYSE ET TRAITEMENT DE L'INFORMATION  
14X026

---

# TP6: Entropy and Detection Theory

---

*Author:* Julien Python [120 Crédits]

*E-mail:* [julien.python@etu.unige.ch](mailto:julien.python@etu.unige.ch)

December 12, 2020



**UNIVERSITÉ  
DE GENÈVE**

---

**FACULTÉ DES SCIENCES**  
Département d'informatique

## Exercice 1: Quantifiers of information

Voir annexe.

## Exercice 2: Source coding

Pour notre exemple, donc avec 2'000 symboles de longueur 2, on a une entropie de 2.31 bits (entropie maximale de 4.52). Or, avec le codage de Huffman, on utilise seulement 4'314 bits pour encoder les mêmes 2'000 symboles (donc en moyenne 2.15 bits par symbole, ce qui est inférieur à 2.31, et donc prendra moins de ressources pour y envoyer/transmettre). Le codage de Huffman est donc meilleur ici.

decoder Huffman selon frequence :

Bits	Code	Value	Symbol
3	000	0	'e'
6	001000	8	'u'
6	001001	9	'k'
6	001010	10	'x'
6	001011	11	's'
10	0011000000	192	't'
10	0011000001	193	'w'
10	0011000010	194	'z'
10	0011000011	195	'à'
8	00110001	49	'v'
10	0011001000	200	'é'
10	0011001001	201	'ò'
9	001100101	101	'o'
9	001100110	102	'x'
10	0011001110	206	'h'
16	0011001111000000	13248	'l'
16	0011001111000001	13249	'n'
15	001100111100001	6625	'a'
14	00110011110001	3313	'è'
13	0011001111001	1657	'ù'
12	001100111101	829	'EOF'
11	00110011111	415	'p'
7	0011010	26	'm'
7	0011011	27	'f'
7	0011100	28	'j'
7	0011101	29	'y'
7	0011110	30	'g'
7	0011111	31	'd'
4	0100	4	'b'
4	0101	5	'q'
4	0110	6	'i'
4	0111	7	'c'
1	1	1	'a'

Ainsi, cette méthode qui assigne un code plus court aux caractères les plus fréquents, fonctionne très bien dans notre cas et est optimale car elle respecte les hypothèses, c'est à dire que nos symboles sont indépendants, qu'on encode symbole par symbole et que la probability mass function est connue (donnée dans l'énoncé). Ces trois critères sont satisfaits, et puisque nos symboles sont indépendants on a ainsi que le codage est optimal.

## Exercice 3: Binary Hypothesis Testing

1a), 3a) Voir annexe.

J'ai trouvé  $\gamma = 1/2$  et  $N=39$  (voir annexe)

Afin de donner des résultats plus intéressants, j'ai décidé de répéter l'expérience un plus grand nombre de fois afin de voir ses données statistiques. Ainsi, pour 500 essais:

l'espérance de  $[P_m \quad P_{fa} \quad P_e] = [4.34 \quad 4.47 \quad 8.81]$   
 ie, en pourcentage d'erreur:  $[0.000434 \quad 0.000447 \quad 0.000881]$

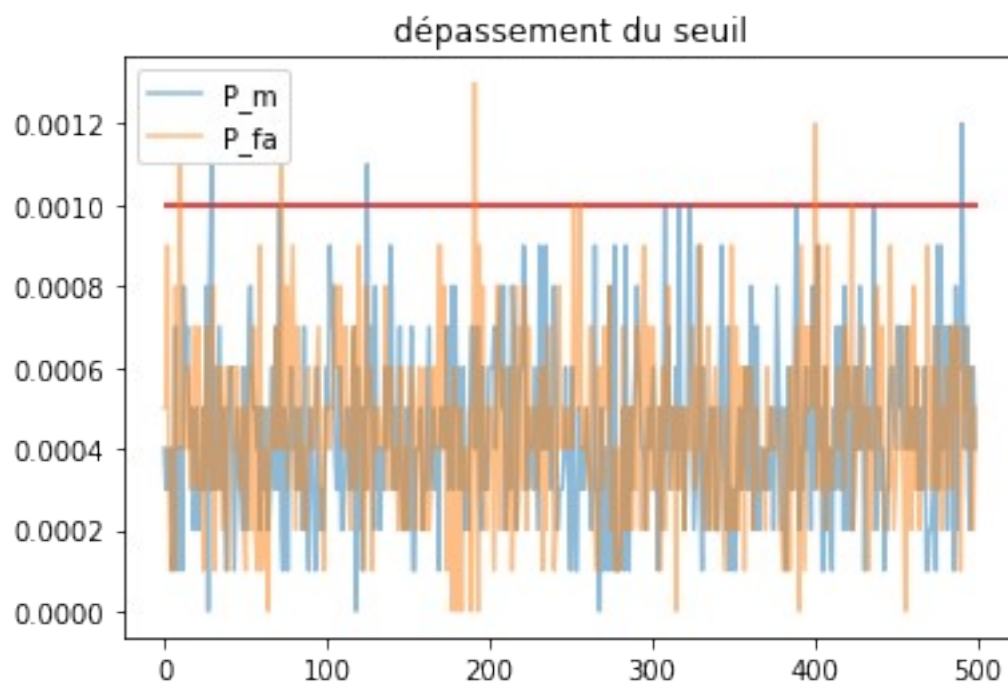
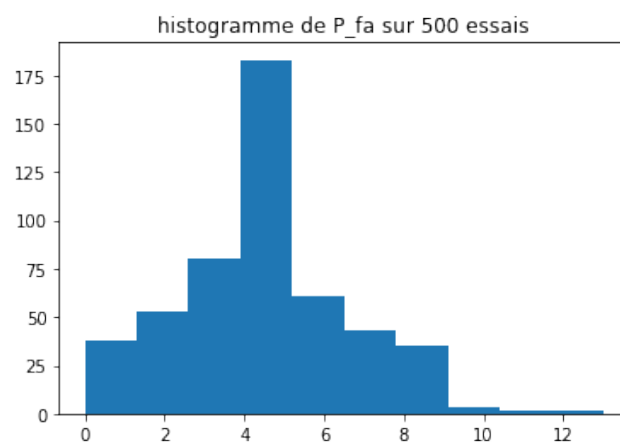
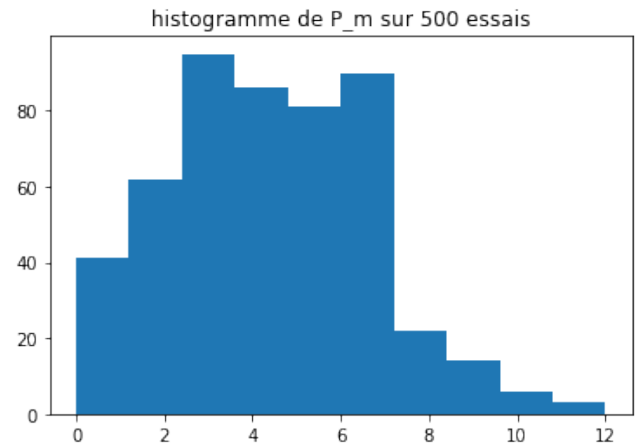
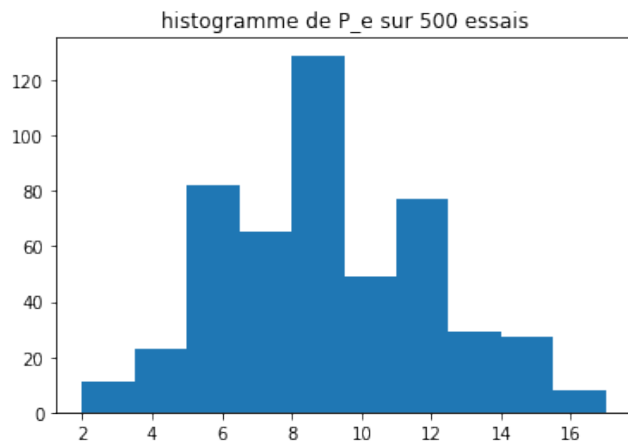
On a bien  $P_m$  et  $P_{fa}$  très proches l'un de l'autre, ceci ne nous dit pas si nous avons raison mais au moins on n'a pas de contradiction, si ces deux valeurs étaient très éloignées l'une de l'autre on aurait une contradiction.

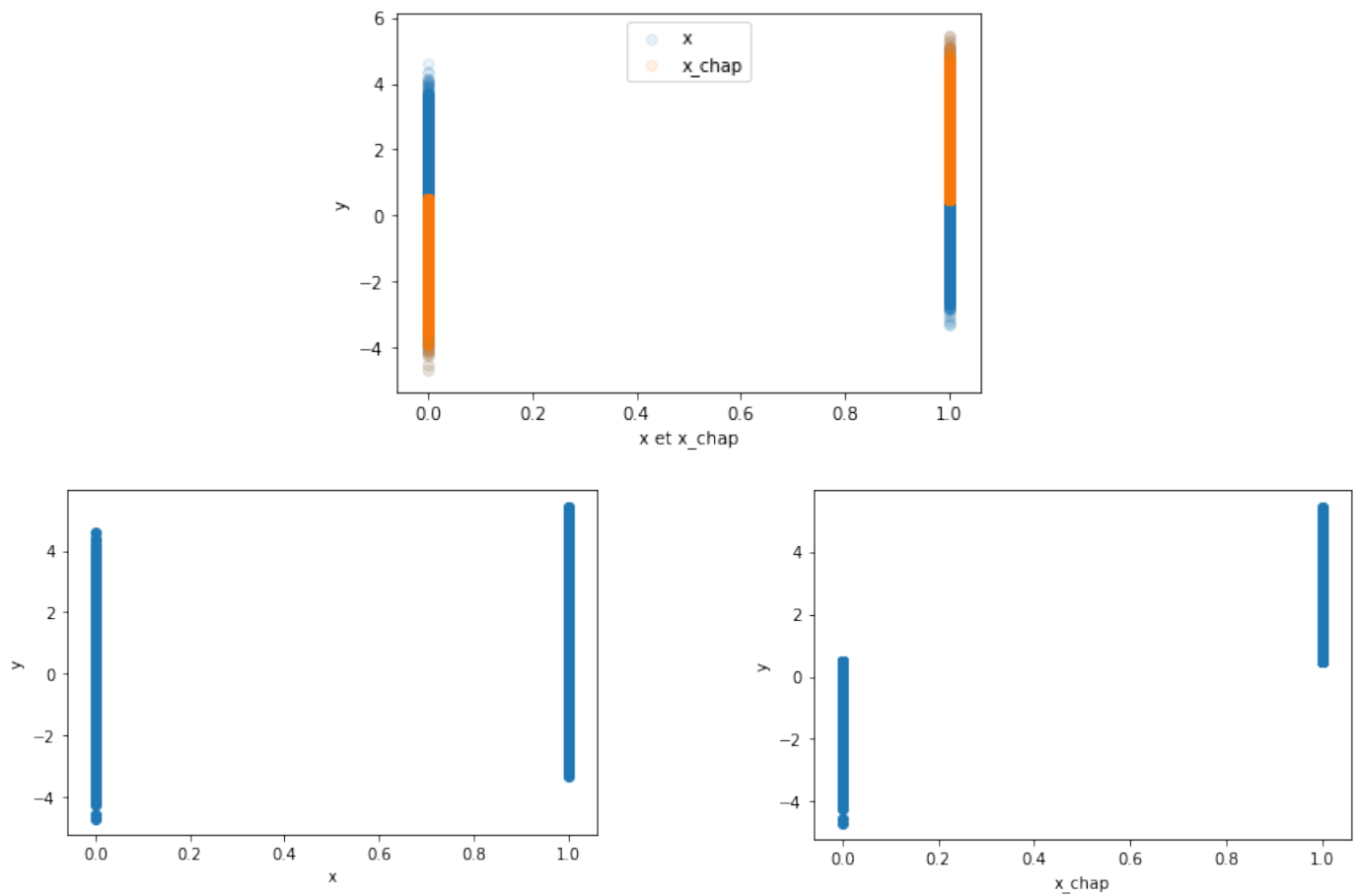
Afin de vérifier que 39 est bien la bonne valeur, on peut aussi vérifier combien de résultats dépassent le seuil de 0.001. En l'occurrence pour nos 500 essais :

il y a 3 cas où  $P_m > 0.001$   
 il y a 4 cas où  $P_{fa} > 0.001$

Ceci correspond bien à nos 500 essais. Je pense donc que ces résultats trouvés au début de l'exercice sont bons et bien corrects (en tout cas les résultats trouvés ci-dessus ne contredisent pas les données initiales).

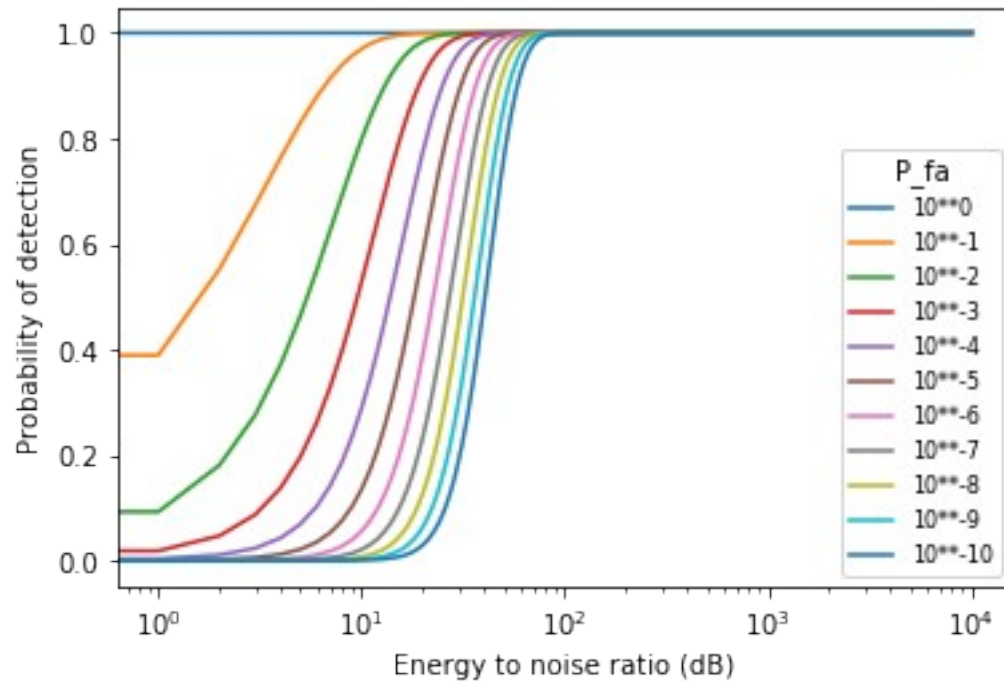
Afin d'illustrer mes propos, voir les graphiques à la page suivante. On remarque sur le graphique du dépassement qu'il y a bien  $4+3=7$  dépassements de seuil.





Afin de mieux comprendre la figure de ci-dessus, je l'ai dédoublée en bas en faisant apparaître un seul  $x$  à la fois. On remarque bien que notre  $x_{\text{chap}}$  prend en compte le seuil de 0.5 calculé dans l'exercice précédent.

Pour le dernier point de cet exercice, on obtient le graphique suivant :



On rappelle que  $P_D = Q\left(Q^{-1}(P_{FA}) - \sqrt{\frac{\mathcal{E}_s}{\sigma_w^2}}\right)$ . Ainsi, on remarque bien que si  $\mathcal{E}_s$  tend vers 0, la probabilité de détection est proche de 0. De même, lorsque la probabilité de détection vaut 1, cela signifie que le log vaut zéro et donc que la variance du signal est égale à la variance du bruit. Et on tend vers un car la variance du signal devient plus forte, et donc on a bien que  $Q(\infty) = 0$ .

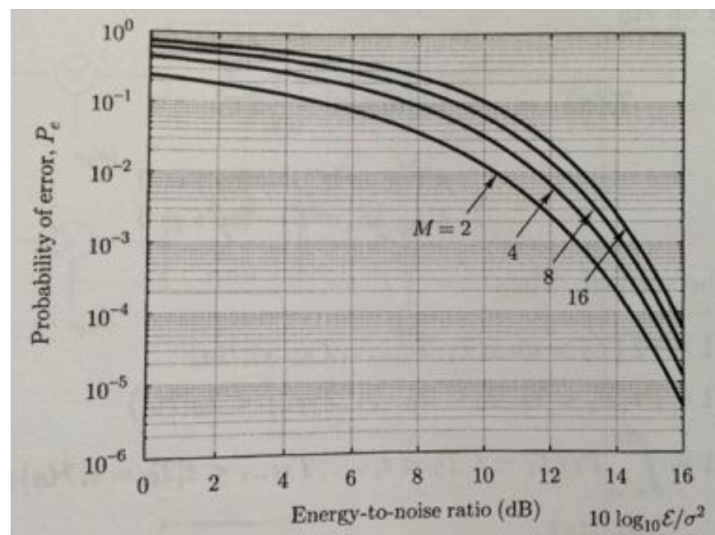
## Exercice 4: Multiple Hypothesis Testing

Afin de donner des résultats plus intéressants, j'ai décidé de répéter l'expérience un plus grand nombre de fois afin de voir ses données statistiques. Ainsi:

```
l'esperance de réussite de 200 essais: 0.65
la variance de réussite de 200 essais: 0.24
le maximum de réussite des 200 essais: 0.75
le minimum de réussite des 200 essais: 0.56
```

Comme on l'observe ci-dessus avec 200 essais, il y a environ deux tiers de pourcentage de réussite avec une variance assez grande, et donc des minimums et maximums assez éloignés de l'esperance. Ainsi, même si l'esperance est assez bonne, on peut avoir pas de chance et tomber sur une réussite de 0.56 ou au contraire avoir de la chance et avoir une réussite de 0.75.

Pour la comparaison avec la formule p.45 du cours, on calcule comme on nous a expliqué lors des séances de TP avec  $\epsilon_s = 1$  et  $\sigma_w^2 = 100$ , et ainsi si on regarde sur le graphe ci-dessous pris dans le cours à la page 46,  $10 \cdot \log_{10}(\frac{\epsilon}{\sigma^2}) = -20$ , donc pour un energy to noise ratio de -20, on remarque bien qu'on doit tendre vers 1 et c'est bien le cas avec notre fonction implémentée.



Ex 1/

U	V	W	$p(u,v,w)$
0	0	0	1/4
0	0	1	0
0	1	0	1/4
0	1	1	1/8
1	0	0	0
1	0	1	1/8
1	1	0	0
1	1	1	1/4
			<u>1</u>

$$a) \cdot \underline{H(U)} = - \left[ p(U=0) \log_2(p(U=0)) + p(U=1) \log_2(p(U=1)) \right] \quad \left. \begin{array}{l} p(U=0) = \frac{2}{8} + \frac{2}{8} + \frac{1}{8} = \frac{5}{8} \\ p(U=1) = \frac{1}{8} + \frac{2}{8} = \frac{3}{8} \end{array} \right\}$$

$$= - \left[ \frac{5}{8} \cdot \log_2\left(\frac{5}{8}\right) + \frac{3}{8} \cdot \log_2\left(\frac{3}{8}\right) \right]$$

$$\approx \underline{0,9544 \text{ bit}}$$

$$\cdot \underline{H(V)} = - \left[ p(V=0) \log_2(p(V=0)) + p(V=1) \log_2(p(V=1)) \right] \quad \left. \begin{array}{l} p(V=0) = \frac{2}{8} + \frac{1}{8} = \frac{3}{8} \\ p(V=1) = \frac{2}{8} + \frac{1}{8} + \frac{2}{8} = \frac{5}{8} \end{array} \right\}$$

$$= H(U) \approx \underline{0,9544 \text{ bit}}$$

$$\cdot \underline{H(W)} = - \left[ p(W=0) \log_2(p(W=0)) + p(W=1) \log_2(p(W=1)) \right] \quad \left. \begin{array}{l} p(W=0) = \frac{2}{8} + \frac{2}{8} = \frac{1}{2} \\ p(W=1) = \frac{1}{8} + \frac{1}{8} + \frac{2}{8} = \frac{1}{2} \end{array} \right\}$$

$$= \underline{1 \text{ bit}}$$

$$b) \cdot \underline{H(U|V)} = p(V_0) H(U|V_0) + p(V_1) H(U|V_1) \approx \frac{3}{8} \cdot 0,9183 + \frac{5}{8} \cdot 0,9710 \approx \underline{0,9512 \text{ bit}}$$

$$H(U|V=0) = - \left[ \underbrace{p(U=0|V=0)}_{\frac{p(u_0, v_0)}{p(v_0)} = \frac{2/8}{3/8} = \frac{2}{3}} \log_2(p(U=0|V=0)) + \underbrace{p(U=1|V=0)}_{\frac{p(u_1, v_0)}{p(v_0)} = \frac{1/8}{3/8} = \frac{1}{3}} \log_2(p(U=1|V=0)) \right]$$

$$\approx 0,9183$$

$$H(U|V=1) = - \left[ \underbrace{p(U=0|V=1)}_{\frac{p(u_0, v_1)}{p(v_1)} = \frac{3/8}{5/8} = \frac{3}{5}} \log_2(p(U=0|V=1)) + \underbrace{p(U=1|V=1)}_{\frac{p(u_1, v_1)}{p(v_1)} = \frac{2/8}{5/8} = \frac{2}{5}} \log_2(p(U=1|V=1)) \right]$$

$$\approx 0,9710$$

$$\cdot \underline{H(V|U)} = H(V) + H(U|V) - H(U) \approx 0,9544 + 0,9512 - 0,9544 \approx \underline{0,9512 \text{ bit}}$$

$$\cdot \underline{H(W|U)} = p(U_0) H(W|U_0) + p(U_1) H(W|U_1) \approx \underline{0,4512 \text{ bit}}$$



$$H(W|U_0) = - \left[ \underbrace{p(W_0|U_0)}_{\frac{p(W_0, U_0)}{p(U_0)} = \frac{2/8 + 2/8}{5/8} = \frac{4}{5}} \log_2(p(W_0|U_0)) + \underbrace{p(W_1|U_0)}_{\frac{p(W_1, U_0)}{p(U_0)} = \frac{1/8}{5/8} = \frac{1}{5}} \log_2(p(W_1|U_0)) \right] \approx 0.7219 \text{ bit}$$

$$H(W|U_1) = - \left[ \underbrace{p(W_0|U_1)}_{\frac{p(W_0, U_1)}{p(U_1)} = 0} \log_2(p(W_0|U_1)) + \underbrace{p(W_1|U_1)}_{\frac{p(W_1, U_1)}{p(U_1)} = \frac{3/8}{3/8} = 1} \log_2(p(W_1|U_1)) \right] = 0 \text{ bit}$$

c)  $I(U;V) = H(U) - H(U|V) \approx 0.9544 - 0.9512 \approx 0.0032 \text{ bit}$

$I(U;W) = H(W) - H(W|U) \approx 1 - 0.4512 \approx 0.5488 \text{ bit}$

$I(U;V,W)$  <sup>chain rule</sup>  $= \underbrace{I(U;V)}_{0.0032} + \underbrace{I(U;W|V)}_{H(U|V) - H(U|W,V) \approx 0.9512 - 0.6068 = 0.3444 \text{ bit}}$   $\approx 0.61 \text{ bit}$

$\downarrow H(U,V) = H(U|V) + H(V)$   
 $\downarrow H(U,W,V) - H(W,V) \approx 2.25 - 1.9056 = 0.3444 \text{ bit}$   
 $\downarrow H(W) + H(V) \approx 1 + 0.9056 = 1.9056 \text{ bit}$

i)  $H(U,V,W) = - \sum_{i,j,k=0}^1 p(U_i, V_j, W_k) \log_2(p(U_i, V_j, W_k))$

$$= - \left[ \frac{1}{4} \log_2\left(\frac{1}{4}\right) + 0 + \frac{1}{4} \log_2\left(\frac{1}{4}\right) + \frac{1}{8} \log_2\left(\frac{1}{8}\right) + 0 + \frac{1}{8} \log_2\left(\frac{1}{8}\right) + 0 + \frac{1}{4} \log_2\left(\frac{1}{4}\right) \right]$$

$$= \frac{9}{4} = 2.25 \text{ bits}$$

ii)  $H(V|W) = p(W_0) H(V|W_0) + p(W_1) H(V|W_1) \approx \frac{1}{2} (1 + 0.8113) \approx 0.9056 \text{ bit}$

$$H(V|W_0) = - \left[ \underbrace{p(V_0|W_0)}_{\frac{p(V_0, W_0)}{p(W_0)} = \frac{2/8}{4/8} = \frac{2}{4} = \frac{1}{2}} \log_2(p(V_0|W_0)) + \underbrace{p(V_1|W_0)}_{\frac{p(V_1, W_0)}{p(W_0)} = \frac{2/8}{4/8} = \frac{1}{2}} \log_2(p(V_1|W_0)) \right] = 1 \text{ bit}$$

$$H(V|W_1) = - \left[ \underbrace{p(V_0|W_1)}_{\frac{p(V_0, W_1)}{p(W_1)} = \frac{1/8}{3/8} = \frac{1}{3}} \log_2(p(V_0|W_1)) + \underbrace{p(V_1|W_1)}_{\frac{p(V_1, W_1)}{p(W_1)} = \frac{2/8}{3/8} = \frac{2}{3}} \log_2(p(V_1|W_1)) \right] \approx 0.8113 \text{ bit}$$

d)  $H(U,V,W) \stackrel{c.i)}{=} 2.25 \text{ bits}$

Ex 3/ 1b)

$$P_M = Q(\gamma - A) \quad \text{with } A=1$$

$$P_{FA} = Q(\gamma)$$

$$\bullet Q(x) = 1 - \Phi(x)$$

$$\bullet \Phi(-n) = 1 - \Phi(n)$$

$$(1 - \Phi(-n)) = \Phi(n)$$

$$Q(\gamma - 1) = Q(\gamma)$$

$$Q\left(\frac{1}{2} - 1\right) = Q\left(\frac{1}{2}\right)$$

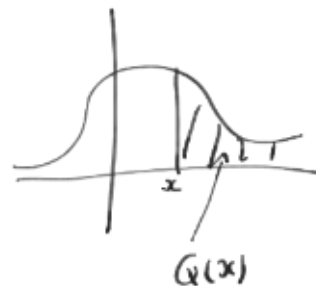
$$Q\left(-\frac{1}{2}\right) = Q\left(\frac{1}{2}\right)$$

$$1 - \Phi\left(-\frac{1}{2}\right) = Q\left(\frac{1}{2}\right)$$

$$1 - \Phi\left(\frac{1}{2}\right) = Q\left(\frac{1}{2}\right)$$

$$Q\left(\frac{1}{2}\right) = Q\left(\frac{1}{2}\right)$$

$$\Rightarrow \gamma = \frac{1}{2}$$



$$P(T > \frac{1}{2}) = Q\left(\frac{1/2}{\sqrt{\sigma_w^2/N}}\right)$$

$$(Q^{-1}(0.001) \cdot 2)^2 = N \approx 38.19 \sim 39$$

## Ex 3 / Binary hypothesis testing

1. general idea

a) Deux hypotheses:  $\begin{cases} H_0: x = 0 + w \\ H_1: x = 1 + w \end{cases}$  où  $w \sim N(0,1)$  noiseon a les classes  $w_0$ : le signal 0 est envoyé $w_1$ : le signal 1 est envoyé

on a 4 possibilités:

	$w = w_0$	$w = w_1$
$\hat{w}(x) = w_0$	true negative	false negative (miss)
$\hat{w}(x) = w_1$	false alarm	true positive (hit)

$$\Rightarrow p_m = P(\hat{w}_0 | w_1)$$

$$p_{fa} = P(\hat{w}_1 | w_0)$$

Reformulation: on a 2 modèles;  $H_0, H_1$  et donc 2 conclusions possibles, soit on choisit  $H_0$ , soit on choisit  $H_1$ .

Les probas à prouver sont  $IP(H_0)$  et  $IP(H_1)$

Les 2 hypotheses décrivent notre espace  $S = \{H_0, H_1\}$  en deux ens. disj.  $A_0, A_1$  ty

si  $s \in A_0$ , on accepte  $H_0$

si  $s \in A_1$ , on accepte  $A_1$

Pour  $X$  une v.a., on a  $IP_{X|H_i}(x)$ ,  $f_{X|H_i}(x)$  où  $i \in \{0,1\}$

$$\Rightarrow \text{On a } \begin{cases} x_i \in A_0 & \text{si } \frac{P_{X|H_0}(x_i)}{P_{X|H_1}(x_i)} \geq \frac{P(H_1)}{P(H_0)} = \frac{1/2}{1/2} = 1 \\ x_i \in A_1 & \text{sinon} \end{cases}$$

### 3. Neyman - Pearson approach

Le thm MAP (2.1) minimise la proba d'accepter l'hypothèse hypothèse, mais on doit connaître  $P(H_0)$  et  $P(H_1)$ . Ici ces deux probas ne sont pas connues.

$$p_f = P(A_1|H_0)$$

$$p_m = P(A_0|H_1)$$

Ainsi, on a deux hypothèses  $\begin{cases} H_0: x = 0 + w \\ H_1: x = s + w \end{cases}$  où  $w \sim N(0, \sigma_w^2 I)$   
 $s \sim N(\mu, \sigma_s^2 I)$

$A_0, A_1$  définies ci-dessus.

def 3.2  
 $\Rightarrow$

$$\begin{cases} x \in A_0 & \text{si } L(x) = \frac{P_{X|H_0}(x)}{P_{X|H_1}(x)} \geq \gamma \\ x \in A_1 & \text{sinon} \end{cases}$$

où  $\gamma$  est la plus grande valeur tq  $\sum_{x(x) \in A_0} P_{X|H_0}(x) \leq p_f = P(A_1|H_0)$

Puis, il s'agit du même exemple 3.1 du cours avec  $s \mapsto v$

$$1 \mapsto \sigma_w^2$$

$$1 \mapsto \sigma_s^2$$